

МИКРОЭЛЕКТРОНИКА

УДК 621.382.82

К. А. ВАЛИЕВ, В. Я. КОНТАРЕВ, Б. В. ОРЛОВ, Ю. И. ЩЕТИНИН,
В. А. СИЕДИН, Б. И. ЗЛЫДНЕВ, О. Л. КРАМАРЕНКО,
С. И. НАЗАРОВ, Г. Э. ШИРО

**БЫСТРОДЕЙСТВУЮЩИЕ ИНТЕГРАЛЬНЫЕ
ПОЛУПРОВОДНИКОВЫЕ СХЕМЫ
ТРАНЗИСТОРНО-ТРАНЗИСТОРНОЙ ЛОГИКИ
СЕРИИ 130**

Приводится описание быстродействующих интегральных схем транзисторно-транзисторной логики серии 130. Рассматриваются особенности работы основного логического элемента серии, его статические и динамические характеристики.

Интегральные схемы серии 130 предназначены для работы на частотах до 30 Мгц в температурном диапазоне от -60 до +125° С. Они выпускаются в плоском 14-выводном металлокерамическом корпусе типа 101МС-14-1 с планарным расположением выводов. Схемы питаются от одного источника напряжения +5 в ±10% и имеют время задержки распространения сигнала 6—7 нсек при потребляемой мощности 22 мвт на один логический элемент. Они совместимы по конструкции корпуса, расположению выводов, напряжению питания и по логическим уровням с ИС аналогичного функционального назначения серий 133 и 136 [1].

Все ИС серии 130 построены на базе основного логического элемента (ОЛЭ), выполняющего функцию И-НЕ (рис. 1). Эта схема существенно отличается от основного логического элемента, разработанного в серии 133 [1, 2]. Увеличение быстродействия основного элемента серии 130 достигнуто за счет уменьшения паразитных емкостей компонентов и уменьшения величин резисторов. В выходном каскаде схемы применена схема Дарлингтона на транзисторах T_3 и T_4 , позволяющая обеспечить большой ток для заряда емкости нагрузки при выключении, что уменьшает время задержки и фронты выходного сигнала. Кроме того, схема Дарлингтона дает возможность получить высокий выходной уровень логической «1» за счет малого падения напряжения на эмиттер-базовом переходе транзистора T_3 , а также низкий выходной импеданс для обоих логических состояний схемы. Низкие выходные импедансы схемы уменьшают динамические помехи, наводимые на линиях связи между интегральными схемами, и позволяют работать на частотах до 30 Мгц при больших емкостях нагрузки.

Замена сопротивления R_4 [2] транзистором T_6 с сопротивлениями R_5 и R_6 позволила получить передаточную характеристику, близкую к прямоугольной. Эта корректирующая цепь удерживает транзистор T_2 в закрытом состоянии до входного напряжения, при котором почти одновременно начинают открываться транзисторы T_2 , T_5 и T_6 . Благодаря этому статистическая помехоустойчивость [3] схем серии 130 составляет $>0,5$ в в диапазоне температур $-60 \div +125^\circ\text{C}$ вместо 0,4 в,

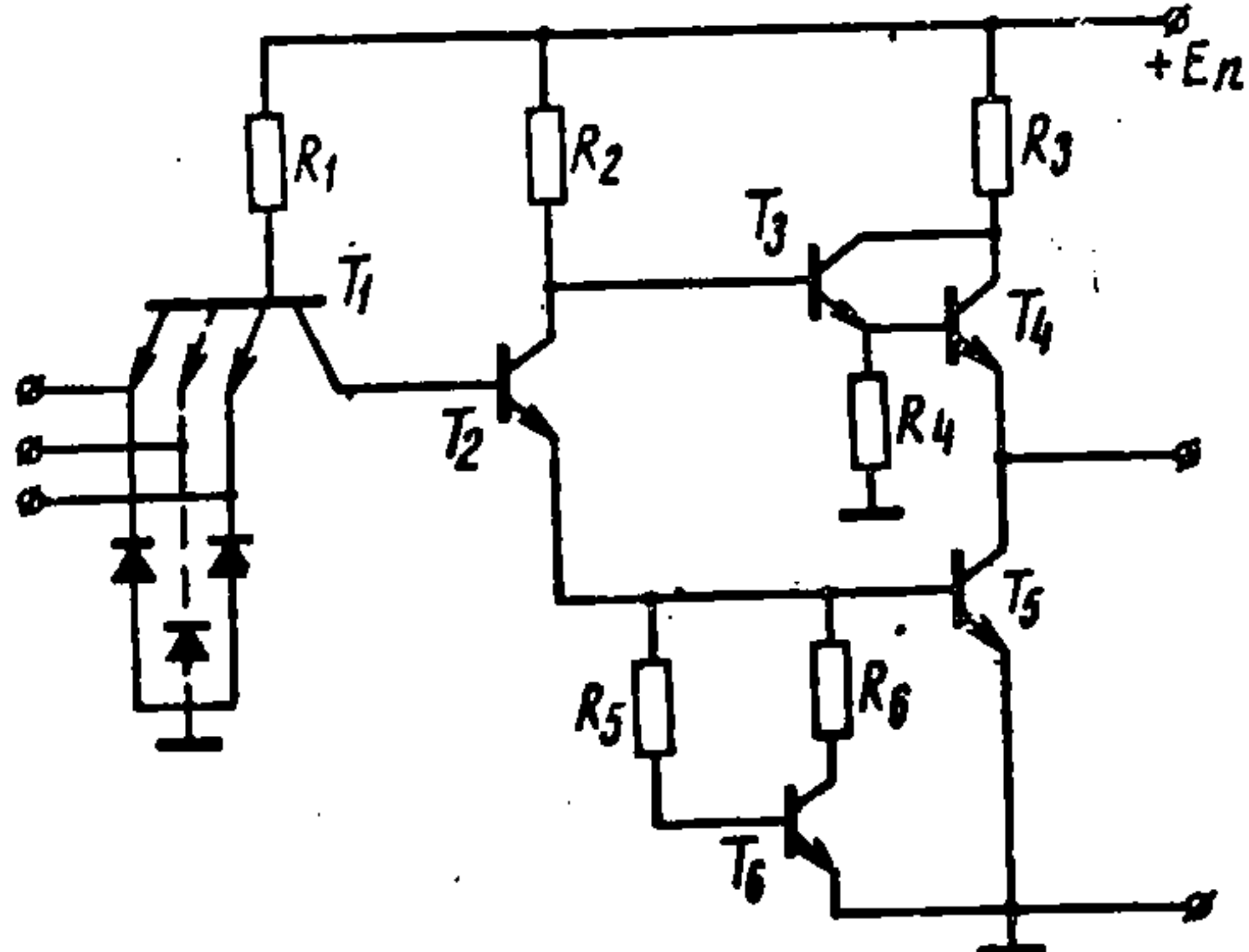


Рис. 1. Электрическая схема основного логического элемента серии 130.

как в других ИС типа ТТЛ [1, 2]. Сравнение импедансов корректирующей цепи и резистора R_4 в диапазоне температур выявило меньшую зависимость импеданса корректирующей цепи от температуры, обеспечивая тем самым следующие дополнительные преимущества. Во-первых, более низкое сопротивление для тока рассасывания выходного транзистора при температуре $+125^\circ\text{C}$ приводит к более быстрому выключению схемы. При этом уменьшается импульсный ток короткого замыкания (когда транзисторы T_4 и T_5 одновременно открыты), что, в свою очередь, приводит к уменьшению мощности, потребляемой схемой в динамическом режиме. Во-вторых, при пониженных температурах импеданс корректирующей цепи уменьшается меньше, чем сопротивление R_4 , поэтому увеличивается ток включения транзистора T_5 и, следовательно, уменьшается время включения схемы.

Высокая помехоустойчивость ИС типа ТТЛ и малые выходные импедансы для обоих логических состояний значительно облегчают согласование линий связи между ИС при конструировании аппаратуры.

Для исключения ложных срабатываний в схемах серии 130 к нормальному входу подключен так называемый антизвонковый диод D_1 . В нормальных рабочих режимах диод D_1 всегда закрыт и дополнительно вносит только незначительную емкость на вход схемы ($<1\text{ pF}$). При отрицательном импульсе напряжения диод D_1 открывается и ограничивает амплитуду импульса на уровне 0,8 в. Последующий положительный импульс напряжения становится значительно меньше 0,8 в, и колебательный процесс быстро затухает.

Серия 130 содержит 17 типов ИС, функция, тип и основные параметры которых приведены в табл. 1. Функции схем приведены для положительной логики, когда логическая «1» соответствует высокому уровню напряжения, а логический «0» — низкому. Функциональные схемы, расположение выводов ИС серии 130 приведены на рис. 2. Электрическая схема одного логического элемента, из которых состоит ИС типа 1ЛБ301 \div 1ЛБ3010 приведена на рис. 1. Схема в зависимости от типа имеет от 2 до 8 входов. Резисторы в схеме 1ЛБ306 имеют

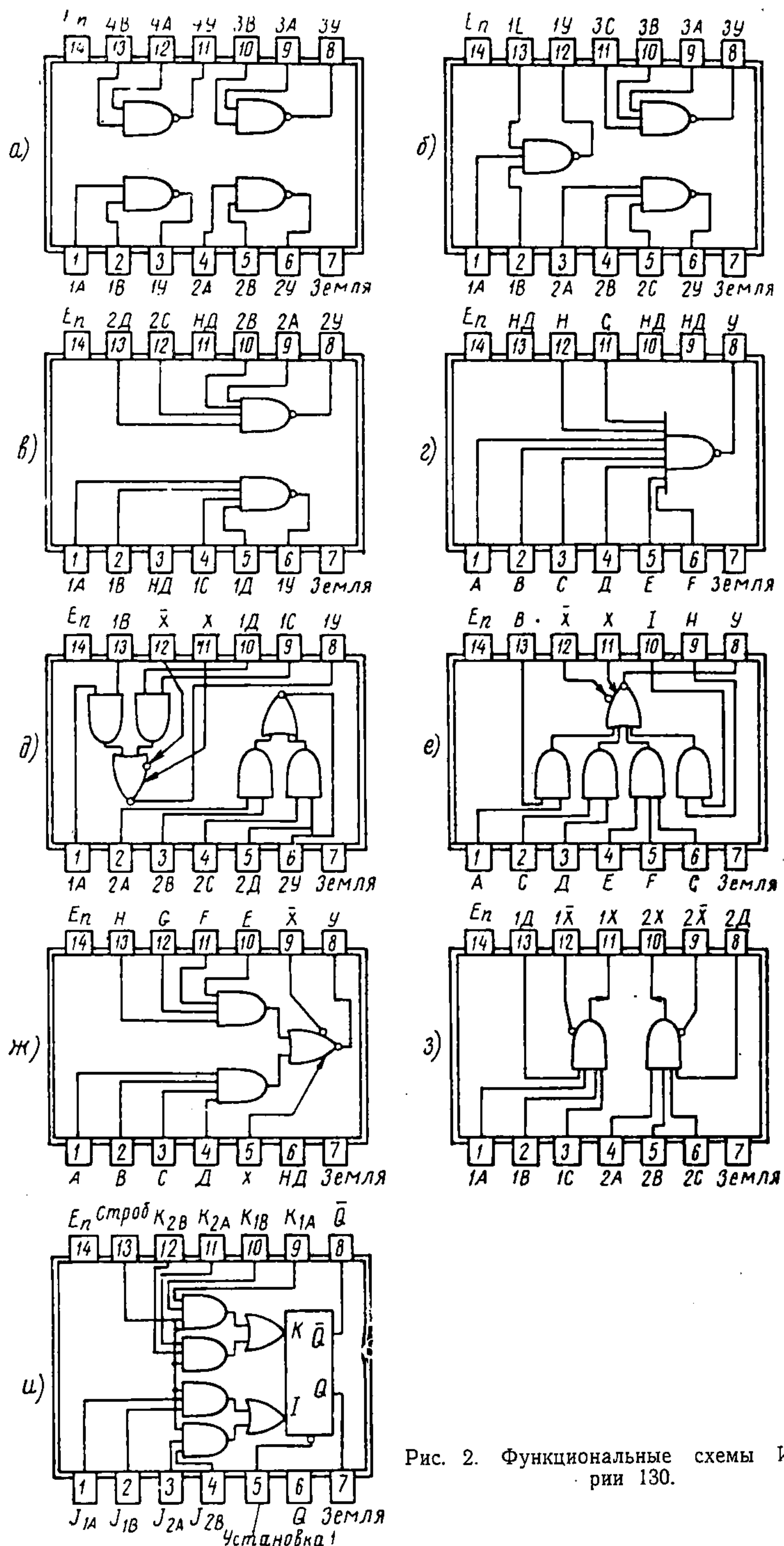


Рис. 2. Функциональные схемы ИС серии 130.

меньшие значения, чем в остальных схемах. Схемы типа 1ЛР301—1ЛР307 могут расширять функцию ИЛИ до 8 путем подключения к соответствующим выводам четырехходовых схем расширителей типа 1ЛП301. Таким образом, схемы типа 1ЛР301, 1ЛР304, 1ЛР305, 1ЛР307 допускают подключение до 6 четырехходовых расширителей (3 схемы типа 1ЛП301), а схемы 1ЛР303 и 1ЛР306 — 4 расширителя (2 схемы 1ЛП301).

Таблица 1

Функция	Тип	Нагрузочная способность	Время задержки, нсек	Потребляемая мощность, мв	Функциональная схема, рис. 2
2 четырехходовые схемы И—НЕ	1ЛБ301	10	7	46	
Восьмивходовая схема И—НЕ	1ЛБ302	10	8	23	в
4 двухходовые схемы И—НЕ	1ЛБ303	10	7	92	г
3 трехходовые схемы И—НЕ	1ЛБ304	10	7	69	а
2 четырехходовые схемы И—НЕ	1ЛБ306	20	8	—	б
2 четырехходовые схемы И—НЕ	1ЛБ307	5	7	46	в
Восьмивходовая схема И—НЕ	1ЛБ308	5	8	23	г
4 двухходовые схемы И—НЕ	1ЛБ309	5	7	92	а
3 трехходовые схемы И—НЕ	1ЛБ3010	5	7	69	б
Две 2И—2ИЛИ—НЕ схемы, 1 с расширением по ИЛИ	1ЛР301	10	8	—	д
2—2—2—ЗИ—ИЛИ—НЕ схема, с расширением по ИЛИ	1ЛР303	10	9	—	е
4И—2ИЛИ—НЕ схема, с расширением по ИЛИ	1ЛР304	10	8	—	ж
Две 2И—2ИЛИ—НЕ схемы, одна с расширением по ИЛИ	1ЛР305	5	8	—	д
2—2—2—ЗИ—ИЛИ—НЕ схемы, с расширением по ИЛИ	1ЛР306	5	9	—	е
4И—2ИЛИ—НЕ схема, с расширением по ИЛИ	1ЛР307	5	8	—	ж
2 схемы четырехходового расширителя по ИЛИ для схем И—ИЛИ—НЕ	1ЛП301	2	—	—	з
3J—3K—И триггер	1ТК301	10	$F=30\text{Мгц}$	—	и

Благодаря совместимости ИС серий 130, 133 и 136 по логическим уровням схемы различных серий могут работать друг на друга в любых сочетаниях. Но поскольку входные токи неодинаковы для различных серий схем, то коэффициенты разветвления по выходу будут разными. В табл. 2 приведены нагрузочные коэффициенты для ИС всех трех серий.

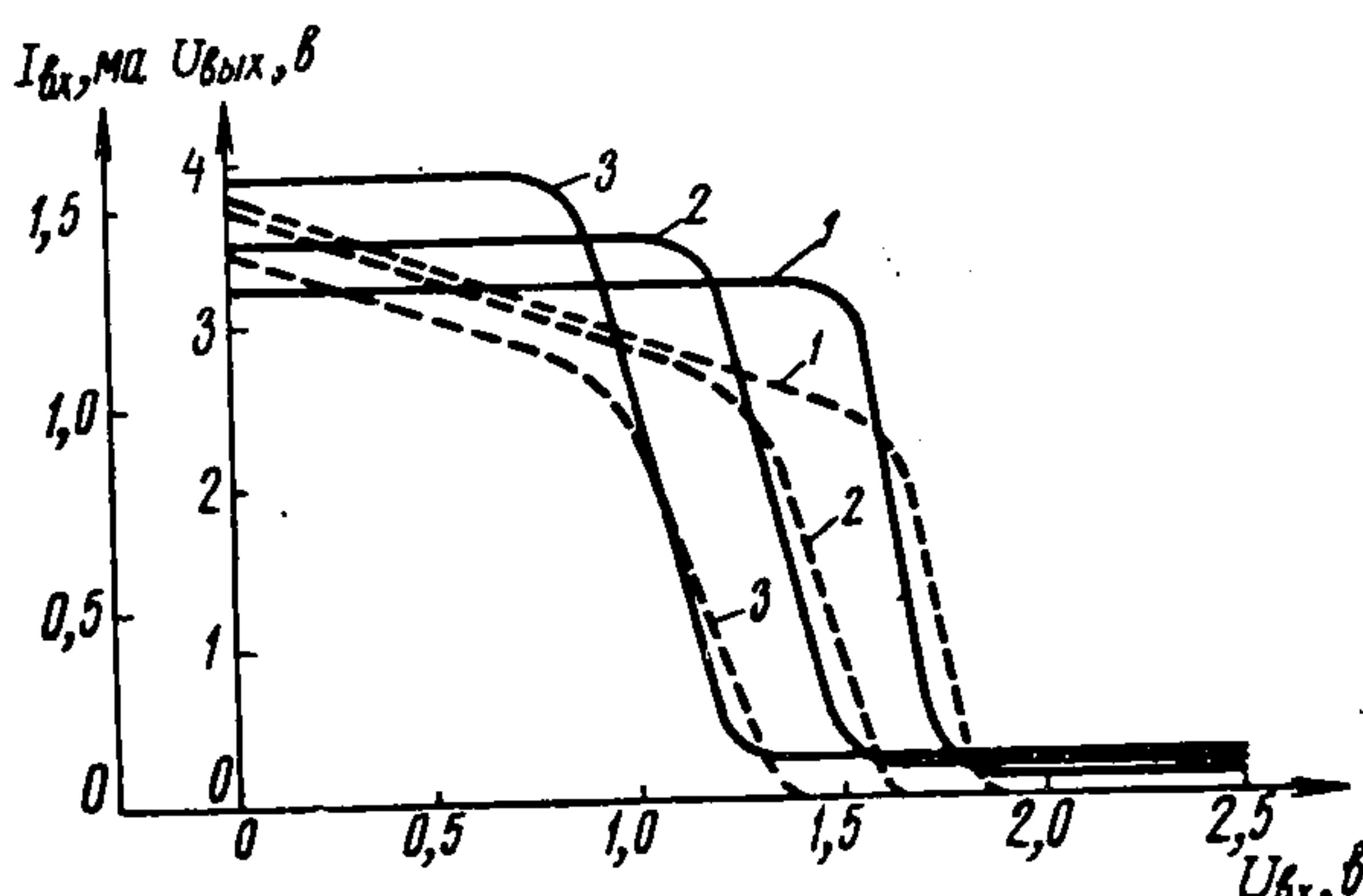


Рис. 3. Типовые статические характеристики ОЛЭ серии 130.

Таблица 2

	Нагрузочные схемы							
	1	2	3	4	5	6	7	8
	1ЛБ301÷ ÷1ЛБ304, 1ЛР301÷ ÷1ЛР304	1ЛБ306	1ЛП301	1ЛБ331÷ ÷1ЛБ334, 1ЛР331÷ ÷1ЛР334	1ЛП331	1ЛБ336	1ЛБ361÷ ÷1ЛБ364	1ЛБ366
1	10	8	10	10	10	10	25	25
2	20	16	20	20	20	20	50	50
3	2	2	2	3	3	3	—	—
4	7	6	7	10	10	10	25	25
5	—	—	—	—	—	—	—	—
6	20	19	20	30	30	30	75	75
7	2	1	2	2	2	2	10	10
8	6	4	6	7	7	7	30	30

На рис. 3 приведены типовые передаточные характеристики (сплошные линии) основного логического элемента, измеренные при напряжении питания +5 в, при температурах -60, +20, +125° С (кривые 1—3). Характеристики измерялись при токах нагрузки, соответствующих коэффициенту разветвления $N=10$. Характеристики наглядно показывают изменение статической помехоустойчивости схемы с изменением рабочей температуры. Если принять логический уровень «1» $U_{\text{вых}}^1 = 2,6$ в, а уровень логического «0» $U_{\text{вых}}^0 = 0,25$ в, то типовая амплитуда напряжения статической помехи по входу [3] для состояния логического «0» и логической «1» равна 1,1 в. На этом рисунке приведены типовые входные характеристики (пунктирные линии). Наклон части характеристики, которая пересекает ось токов, соответствует сопротивлению R_1 (рис. 1). Входные токи отрицательной полярности $I_{\text{вх}}^1$ являются втекающими в схему по входным выводам токами, величина которых определяется инверсным коэффициентом усиления транзистора T_1 [2]. Типовая величина тока $I_{\text{вх}}^1 = 15$ мка при $T = +20^\circ \text{C}$. На рис. 4 показаны типовые выходные характеристики схемы, измеренные при $E = 5$ в, $U_{\text{вх}} = 2,4$ в, $T = -60, +20, +125^\circ \text{C}$. Наклон характеристики соответствует сопротивлению насыщения выходного транзистора T_5 (рис. 1), которое определяет выходное напряжение логического «0».

Типовое среднее время задержки распространения сигнала для каждой ИС серии 130 приведено в табл. 1. Измерение производилось при $E = +5$ в, $T = +20^\circ \text{C}$, $C_h = 30$ пФ, N_{max} . На рис. 5 приведены типовые зависимости времени задержки распространения сигнала при включении и выключении от изменения емкости нагрузки. При измерении неиспользуемые входы ИС подключаются к источнику напряжения $E = +4$ в.

При подключении схем расширителей 1ЛП301 к схемам типа 1ЛР301—1ЛР307 время задержки распространения увеличивается на 1 нсек при подключении каждого расширителя. Следует отметить, что такое увеличение имеет место и при подключении паразитной емкости к коллекторному выводу схемы (1 нсек на 1 пФ подключаемой емкости).

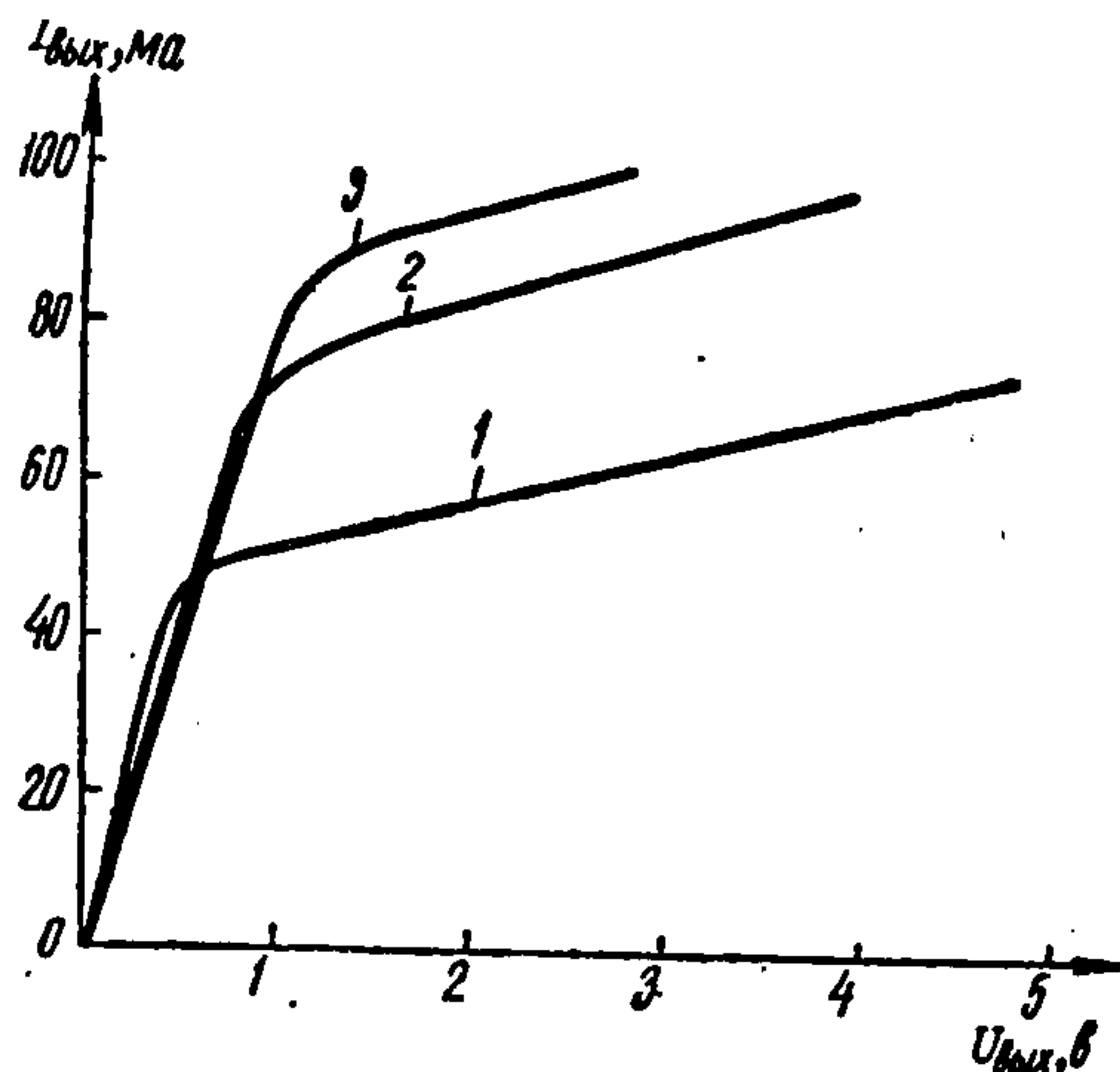


Рис. 4. Выходные характеристики ОЛЭ серии 130.

Условия измерения: $E_{\text{п}} = 5 \text{ в}$, $U_{\text{вх}} = 2 \text{ в}$, $T = -60; +20; +125^{\circ}\text{C}$
(кривые 1—3).

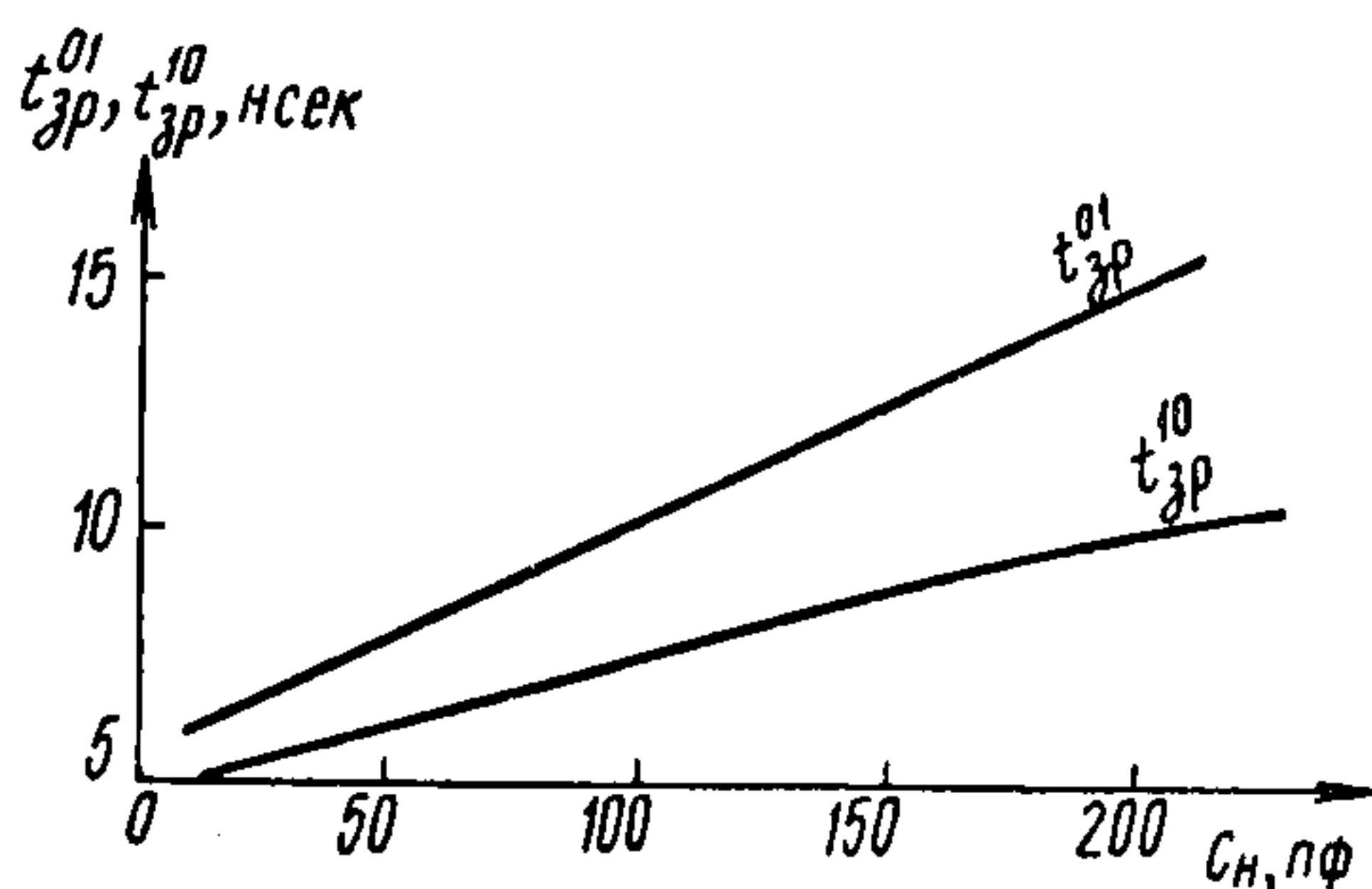


Рис. 5. Зависимость t_{3p}^{01} , t_{3p}^{10} от емкости нагрузки.
 $E_{\text{п}} = 5 \text{ в}; T = 20^{\circ}\text{C}; N = 10$.

Мощность, потребляемая ИС типа ТТЛ в динамическом режиме, увеличивается с ростом частоты переключения схемы. Благодаря временным задержкам в цепях схемы оба выходных транзистора (T_4 и T_5) оказываются одновременно открытыми некоторое время при переключении схемы из состояния логического «0» в «1» и обратно. Низкое сопротивление открытых транзисторов вызывает дополнительное потребление тока «короткого» замыкания ($I_{\text{кз}}$) от источника питания. При постоянном источнике питания и внешней нагрузке $I_{\text{кз}}$ имеет постоянную амплитуду и время действия. Чем больше частота переключения, тем больше импульсов тока $I_{\text{кз}}$ в единицу времени и, следовательно, больше средняя мощность, потребляемая схемой. При подключении емкости нагрузки необходим дополнительный ток для ее заряда, который потребляется через транзистор T_4 при переходе схемы из состояния ло-

гического «0» в «1». Поэтому при увеличении емкости нагрузки мощность, потребляемая схемой при переключении, увеличивается.

Типовое приращение мощности, потребляемой схемой типа 1ЛБ301 от частоты при $T = +20^\circ\text{C}$, $E = 5 \text{ в}$, $C_n = 15 \text{ пФ}$, равно $0,9 \text{ мвт/Мгц}$, а при $C = 60 \text{ пФ}$ равно $1,4 \text{ мвт/Мгц}$. Частотные свойства ИС серии 130 ограничиваются предельной рабочей температурой кристалла ($p-n$ перехода), равной 150°C . Поэтому при выборе рабочей частоты схемы необходимо учитывать вид охлаждения микросхем в аппаратуре. При заданной рабочей частоте можно предъявить требования к виду охлаждения, т. е. к тепловому сопротивлению корпуса микросхемы — окружающая среда $R_{t(k-c)}$, используя следующее выражение:

$$R_{t(k-c)} = \frac{T_p - T_c - R_{t(p-k)} F \Delta P_d}{F \Delta P_d},$$

где T_p — предельная температура $p-n$ перехода на кристалле, $^\circ\text{C}$; T_c — температура окружающей среды, $^\circ\text{C}$; $R_{t(p-k)}$ — тепловое сопротивление $p-n$ переход — корпус, $^\circ\text{C}/\text{мвт}$; F — рабочая частота, Мгц ; ΔP_d — удельная динамическая мощность, $\text{мвт}/\text{Мгц}$.

Для ИС серии 130 в корпусах 101 МС-14-1 значение $T_{(p-k)} = 0,05 - 0,1 \text{ }^\circ\text{C}/\text{мвт}$.

Работоспособность ИС серии 130 оценивается по следующему комплексу измеряемых и режимных параметров:

- $U_{\text{вых}}^0$ — максимальное выходное напряжение логического «0»;
- $U_{\text{вых}}^1$ — минимальное выходное напряжение логической «1»;
- $U_{\text{вх}}^0$ — напряжение логического «0» на входе при измерении тока $I_{\text{вх}}^0$;
- $U_{\text{вх}}^1$ — напряжение логической «1» на входе при измерении тока $I_{\text{вх}}^1$;
- $U_{\text{пор}}^0$ — пороговое напряжение логического «0» на входе при измерении $U_{\text{вых}}^1$;
- $U_{\text{пор}}^1$ — пороговое напряжение логической «1» на входе при измерении $U_{\text{вых}}^0$;
- $U_{\text{вх проб}}$ — минимальное входное пробивное напряжение;
- $U_{\text{вх н}}$ — входное напряжение на неиспользуемых входных выводах;
- $I_{\text{вх}}^0$ — максимальный входной вытекающий из схемы ток при напряжении на входе $U_{\text{вх}}^0$;
- $I_{\text{вх}}^1$ — максимальный входной втекающий в схему ток при напряжении на входе $U_{\text{вх}}^1$;
- $I_{\text{вых}}^0$ — максимальный выходной втекающий ток нагрузки при измерении $U_{\text{вых}}^0$;
- $I_{\text{вых}}^1$ — максимальный выходной вытекающий ток нагрузки при измерении $U_{\text{вых}}^1$;
- $I_{\text{п}}^1$ — ток, потребляемый схемой от источника питания при напряжении логической «1» на выходе;
- $I_{\text{п}}^0$ — ток, потребляемый схемой от источника питания при напряжении логического «0» на выходе;
- $I_{\text{кз}}$ — выходной вытекающий ток короткого замыкания при $U_{\text{вых}} = 0$;
- $I_{\text{вх проб}}$ — максимальный втекающий входной ток при измерении $U_{\text{вх проб}}$;

Продолжение

1ЛБ301, 1ЛБ302, 1ЛБ303, 1ЛБ304, 1ЛБ307, 1ЛБ308, 1ЛБ309, 1ЛБ310

Таблица 4

Параметр	Нормы		Условия измерения						Примечание
	мин.	макс.	$U_{\text{вх}}^0, \text{в}$	$U_{\text{вх}}^1, \text{в}$	$U_{\text{вх}}^0, \text{в}$	$U_{\text{вх}}^1, \text{в}$	$I_{\text{вых}}^0, \text{ма}$	$I_{\text{вых}}^1, \text{ма}$	
$U_{\text{вых}}, \text{в}$	—	0,4	—	—	—	2	—	4,5	40
$U_{\text{вых}}, \text{в}$	2,5	—	—	—	0,9	—	Своб.	4,5	—
$U_{\text{вх проб}}, \text{в}$	5,5	—	—	—	—	—	0	5,5	—
$I_{\text{вх}}^0, \text{ма}$	—	2,5	0,4	—	—	—	4	5,5	—
$I_{\text{вх}}^1, \text{ма}$	—	100	—	2,4	—	—	0	5,5	—
$I_{\text{п}}^0, \text{ма}$	—	32	“	—	—	—	Своб.	5,5	—
$I_{\text{п}}^1, \text{ма}$	—	12	—	—	—	—	0	5,5	—
$I_{\text{кз}}, \text{ма}$	40	125	—	—	—	—	0	5,5	—
$t_{\text{зр}}^{10}, \text{нсек}$	—	16	—	—	—	—	4	5	$T = +20^\circ\text{C}$
$t_{\text{зр}}^{01}, \text{нсек}$	—	15	—	—	—	—	4	5	
							$N = 20; C = 30 \text{ нф}$		
							$N = 20; C = 30 \text{ нф}$		

Таблица 5

1ЛР301, 1ЛР303, 1ЛР304, 1ЛР305, 1ЛР306, 1ЛР307

Параметр	Нормы		Условия измерения						Примечание
	мин.	макс.	Тип схемы	$U_{\text{вых}}^0$, в	$U_{\text{вых}}^1$, в	$I_{\text{вых}}$, мА	$I_{\text{вых}}^0$, мА	E , в	
$U_{\text{вых}}^0$, в	—	0,4	—	—	—	—	—	—	1ЛР301, 1ЛР303, 1ЛР304
$U_{\text{вых}}^1$, в	2,5	—	—	—	—	0,9	—	0	1ЛР301, 1ЛР303, 1ЛР304
$U_{\text{вх проб}}$, в	5,5	—	—	—	—	—	—	4,5	1ЛР305, 1ЛР306, 1ЛР307
$I_{\text{вх}}$, мА	—	2	—	—	0,4	—	—	—	—
$I_{\text{вых}}^1$, мА	—	100	—	—	2,4	—	—	0	—
$I_{\text{вых}}^0$, мА	—	24	—	1ЛР301, 1ЛР305	—	—	—	—	—
	—	14	—	1ЛР303, 1ЛР306	—	—	—	—	—
	—	12	—	1ЛР304, 1ЛР307	—	—	—	—	—
						Своб.	Своб.	5,5	

Продолжение

1ЛР301, 1ЛР303, 1ЛР304, 1ЛР305; 1ЛР306, 1ЛР307

Параметр	Нормы		Условия измерения				Примечание
	мин.	макс.	Тип схемы	U_{Bx}^N , в	I_{Bx}^N , мА	U_{Bx}^H , в	
I_B , мА	-	13	1ЛР301, 1ЛР305	-	-	-	
	-	11	1ЛР303, 1ЛР306	-	-	-	
	-	6,5	1ЛР304, 1ЛР307	-	-	-	
I_{k3} , мА	35	95	-	-	-	-	
t_{3p}^{10} , мсек	-	12	-	-	-	-	$T = + 20^\circ\text{C}$
t_{3p}^{01} , мсек	-	15	-	-	-	-	Для 1ЛР305, 1ЛР306, 1ЛР307, $N=5$
				$N=10$; $C=30\text{ n}\phi$	4	0	5
				$N=10$; $C=30\text{ n}\phi$	4	0	5

$t_{зр}^{01}$ — время задержки распространения сигнала при переключении схемы из состояния логического «0» в «1»;

$t_{зр}^{10}$ — время задержки распространения сигнала при переключении схемы из состояния логической «1» в «0».

В табл. 3—5 приведены нормы на статические и динамические измеряемые параметры и условия измерения, гарантирующие работоспособность ИС в диапазоне температур.

Статья поступила 16 марта 1971 г.

ЛИТЕРАТУРА

1. Валиев К. А. и др. Комплекс логических полупроводниковых интегральных микросхем типа ТТЛ. «Электронная техника», сер. VI, Микроэлектроника, 1969, вып. 3.
2. Казеннов Г. Г. и др. Применение метода граничных испытаний к расчету интегральных транзисторно-транзисторных логических схем. В сб. «Микроэлектроника», под ред. Ф. В. Лукина, вып. 3. Изд-во «Сов. радио», 1969.
3. «Анализ и расчет интегральных схем», ч. 2, под ред. Д. Линна и др. (пер. с англ.). Изд-во «Мир», 1969, стр. 160.